

5. Bindung und Ausweitung von Atomkernen

5.1. Bindungsenergie und Tröpfchenmodell

Bindungsenergie definiert als

$$B(H_2) = 2M_H c^2 + M_n c^2 - M_{H_2} c^2$$

Massenreaktion

Massen Wasserstoffatome Massen Atom mit n Neutronen und z Protonen

M wird üblicherweise ausgedrückt in Einheiten von $\frac{1}{12}$ der Masse eines ^{12}C -Atoms \equiv 1amu

$$1 \text{amu} \cdot c^2 = 931.502 \text{ MeV}$$

$$M_H = 1.0078 \text{ amu}$$

$$M_n = 1.0087 \text{ amu}$$

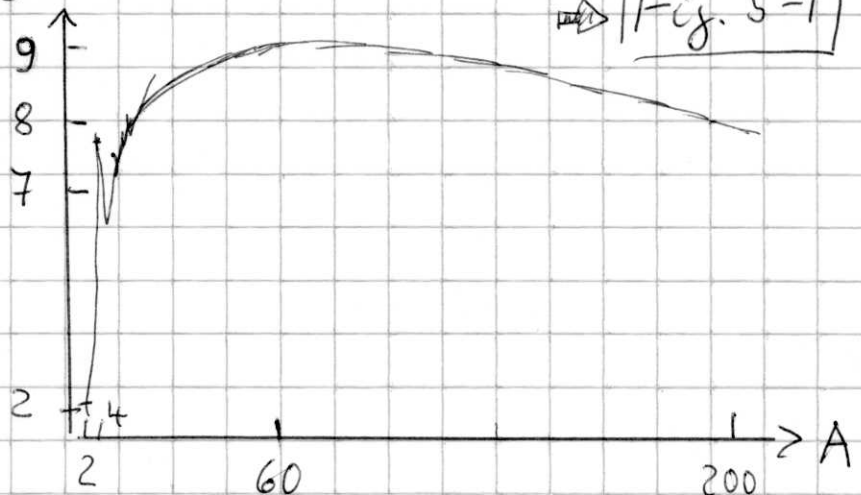
$${}^4\text{He}; B(2,2) = 2 \cdot 1.0078 + 2 \cdot 1.0087 - 4.0086 = 0.0304 \text{ amu}$$

$$\approx 28.3 \text{ MeV} \text{ oder } B/A = 7.1 \text{ MeV}$$

Systematik der Bindungsenergien

$B/A(\text{MeV})$

Fig. 5-1



erste Beschreibung der Systematik durch C.F. von Weizsäcker 1935, N. Bohr 1936 basierend auf:

$$\text{Kernradius} \approx 1.2 \cdot A^{1/3} \text{ fm}$$

Kerne haben ein Füllern etwa konstante Dichte

von 0.17 Nukleonen/fm³, offensichtlich Reichweite der Kernkraft kurz \leftrightarrow Sättigungsscharakter

in Analogie zu Atomen/Molekülen in Flüssigkeiten kann man einfache Parameterisierung der Bindungsenergie finden:

$$B(\text{ReV}) = b_V \cdot A - b_S A^{2/3} - b_C Z^2 A^{-1/3} - b_{\text{sym}} (N-Z)^2 / A + b_P A^{-1/2}$$

"Weizsäcker - Formel"

5-2

- $b_V \cdot A$ Volumenterm: B/A konstant, B wächst mit Volumen, $b_V = 15.85 \text{ ReV}$
- $b_S A^{2/3}$ Oberflächenterm: Nukleonen an der Oberfläche haben weniger Bindungspartner, sind daher weniger gebunden \propto zu Oberfläche $R^2 \propto A^{2/3}$, $b_S = 18.34 \text{ ReV}$ reduziert Bindung, also negativ
- $b_C Z^2 A^{-1/3}$ Coulombterm: Coulombabstossung der 2 Protonen

für einheitlich geladene Kugel mit Radius R_0

$$B_C = \frac{1}{2} \int \frac{g(r) g(r')}{|r-r'|} d^3r d^3r' = \frac{1}{2} g^2 \frac{8\pi^2}{3} \frac{4}{5} R_0^2$$

mit $g = \frac{3Z^2 e}{4\pi R_0^3}$ und $R_0 = r_0 \cdot A^{1/3} \approx B_C = \frac{3Z^2 e^2}{5r_0 A^{1/3}}$

mit $r_0 = 1.2$ für $\approx b_C = 0.717 \text{ ReV}$

- $b_{\text{sym}} (N-Z)^2 / A$ Symmetrieterm: Pauliprinzip und diskrete Energieniveaus im Potentialtopf (s.u.)
→ möglichst günstig: gleiche Anzahl von Z und N
 $b_{\text{sym}} = 23.2 \text{ ReV}$ Asymmetrie relativistisch Bindung $\approx " - "$
- $b_P A^{-1/2}$ Paarungsterm: gg-Kerne stärker gebunden als ug und gg und dies wieder stärker als uu
für gg $b_P = 11.5 \text{ ReV}$, für uu $b_P = -11.5 \text{ ReV}$, für ug, gg $b_P = 0$

$B(N, Z)$ bestimmt, wie stark Kerne gebunden sind
manchel sind weniger stark gebunden als ^{12}C , wo
 $BIA = 1 \text{ amu} \cdot \text{c}^2$, viele sind stärker gebunden
definieren sogenannten Massenüberschuss bzw. -defizit
 $\Delta = M_{N,Z} \text{ c}^2 - A \cdot \text{amu} \cdot \text{c}^2$ (tabelliert)

Für jedes Element Z gibt es ein Isotop mit $A=Z+N$
das am stärksten gebunden ist (line der
Stabilität, siehe Übersichtskart)

- für kleines Z : $N=Z$ bevorzugt (Sym. Energie)
- für großes Z : Coulombenergie dominiert $\propto N > Z$
- Endl. des Periodensystems: ?? $^{272}_{110}\text{Ds}, ^{277}_{112}\text{Cp}, ^{289}_{114}\text{X}, \dots$
- für jedes Element gibt es 1 oder mehrere stabile
Isotope sowie eine Reihe von instabilen
aber gebundenen Isotopen; typischerweise β -Zerfall
zu benachbarten Elementen

Region der gebundenen Kerne limitiert durch sog.
Proton- bzw. Neutron-Drip-Linie; jenseits zer-
fallen Kerne stark in $< 10^{-18} \text{ s}$ (Lage ist
sehr wichtig für Elementsynthese in Sternen)

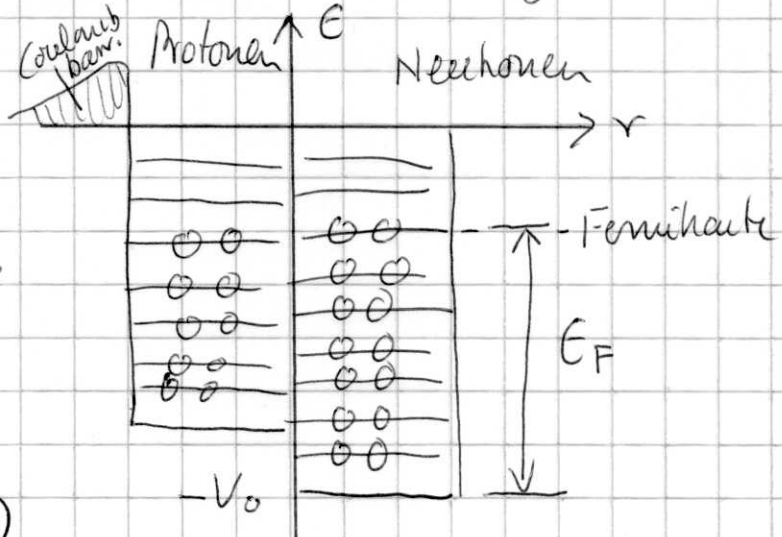
Fig. 5-2a

5.2. Fermiujas-Modell

Kern hat auch viele Eigenschaften, die leicht
durch ein Modell unabhängiger Teilchen in
einem Potenzial beschrieben werden als durch
stark. wv Flüssigkeitskopfen. Einfachstes Modell:

Nukleonen von endlich Masse, Kern ist Fermiges von n Nukleonen, die sich frei in Kugel mit Radius $R = r_0 A^{1/3} \approx 1.2 \text{ fm} \cdot A^{1/3}$ bewegen. Da sie Fermionen sind und liegen sie dem Pauli Prinzip

2 Potentiallöpfe, einer für p , einer für n in jeder enthält endlich Anzahl von Teilchen niveaus, jedes besteht aus 2 Teilchen (Spin nach oben/unten)



Temp. so niedrig, daß alle Nukleonen in den niedrigst möglichen Zuständen sind. Zustände bis zu einer bestimmten max. Kin. Energie, der Fermienergie sind gefüllt. Anzahl von Zuständen mit Impulsen zwischen 0 und p_{\max} folgt aus der Integration

$$n = \frac{1}{(2\pi\hbar)^3} \int_0^{p_{\max}} \int_0^{p_{\max}} \int_0^{p_{\max}} d^3x \cdot d^3p = \frac{V p_{\max}^3}{6\pi^2 \hbar^3} \quad \text{mit } V = \frac{4\pi}{3} r_0^3 A$$

jeder Zustand mit 2 Nukleonen besetzt, also für Neutronen

$$n = N/2 = \frac{4\pi r_0^3 A P_{FN}^3}{3 \cdot 6\pi^2 \hbar^3} \quad \sim P_{FN} = \frac{\hbar}{r_0} \sqrt[3]{\frac{9\pi N}{4A}}$$

für Protonen

$$n = Z/2 = \frac{4\pi r_0^3 A P_{F,Z}^3}{3 \cdot 6\pi^2 \hbar^3} \quad \sim P_{F,Z} = \frac{\hbar}{r_0} \sqrt[3]{\frac{9\pi Z}{4A}}$$

für z.B. $N = 2 \quad \rho_{F,H} = \rho_{F,Z} \approx 250 \text{ fm}^{-3}$

$$T_{\max} = E_F \approx 33 \text{ MeV}$$

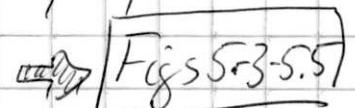
$$\text{mittlere kin. Energie } \langle T \rangle = \frac{\int_0^{\rho_{\max}} E d^3 p}{\int_0^{\rho_{\max}} d^3 p} = \frac{3}{5} T_{\max} \approx 20 \text{ MeV}$$

5.3. Schalenmodell

um mehr über Kernigkeiten schaffen zu verstehen,
z.B. Quantenzahlen und Energien diskreter geke-
deur Zustände, um für Schrödinger gleichung
für geeignetes Potential lösen & Schalenmodell

Evidenz für Schalenstruktur: Abweichungen der
Bindungsenergien von Weitwähr-Formel, Proton-
und Neutron separationsenergien, Ausgleichsenergie
von 1. Augenstein Zust. in gg-Kernen (E_{2+}), ...

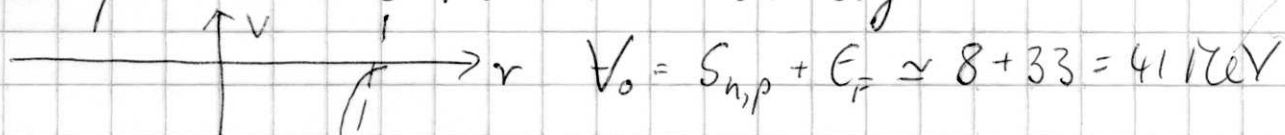
→ magische Zahlen bei denen Eigenschaften sich
rel. sehr ändern $Z, N = 2, 8, 20, 28, 50, 82, 126$

 Fig 5.3-5.5)

räumliche Verteilung des Potentials,
wub wegen kurzer Reichweite der Kernkraft
die (ladungs-) Dichte Verteilung folgen

Woods-Saxon Potential $V = -V_0 \left(1 + \exp\left(\frac{r-R_0}{a}\right)\right)^{-1}$

entspricht der Fermi-Verteilung



Schrödinger-Gleichung lösen &
approximieren durch harmonisches
Potential $\propto 1/r$ kann Osz.

$$V(r) = -V_0 \left(1 - \left(\frac{r}{R_0}\right)^2\right) = \frac{1}{2} m \omega_0^2 (r^2 - R_0^2)$$

mit $\hbar \omega_0 \approx 41 \text{ MeV} \cdot A^{1/3}$ Zustände $E_k = \hbar \omega_0 (N + \frac{3}{2}) - V_0$

mit $N = 2(n-1) + l \rightarrow$ Bahndrehimpuls $Q? l = N, N-2, \dots, 0$ odd
 \hookrightarrow Anzahl rad. Knoten $n=1, 2, 3, \dots$

Eigentwerte der Oszillat-zustände $g(N) = \frac{1}{2} (N+1)(N+2)$
jeder Zustand mit $2g(N)$ Protonen oder Neutronen
gefüllt (Spin)

\rightarrow magische Zahlen 2, 8, 20, 40, 70, 112 Problem!

Kastenpotential oder konkav Woods-Saxon Pot.

lösen das Problem nicht

 Fig. 5-6]

Aber: bisher Kernspin, bzw. Kopplung Spin-Bahndrehimpuls für Energiereste und verdeckt
Temperatur $f(r)$ führt zu Aufspaltung der sonst entz. Zustände $j = l \pm \frac{1}{2}$

Exp.: Störung um p oder n an ${}^4\text{He}$ populiert wird.
Grundzustand bzw. auger. Zust. von ${}^5\text{Li}$ bzw. ${}^5\text{He}$

${}^4\text{He}$: 1s gefüllt, d.h. besitzt 1p zu füllen $j = \frac{3}{2}, \frac{1}{2}$
Drehimpuls aus Winkelvortilung. führt

in beiden Fällen Grundzustand mit $J^\pi = \frac{3}{2}^-$
und 1. auger. Zustand mit $J^\pi = \frac{1}{2}^-$ 4.6 bzw 7 MeV
im Grundzustand \rightarrow stark abhäng. Spin-Bahn
WW.

Glücklicherweise Haxel, Jensen, Suess und Geppert-Mayer realisiert (1949): Schalenmodell mit adäquater Spin-Bahn Kopplung \rightarrow konkrete magische Zahlen, Drehimpulse, Auger. Energien
Bindungsenergien, mag. Momenta  Fig. 5-7,8]

5.4. Kernspaltung

Bündnergie in schweren Kernen ($A > 230$) macht es energetisch günstig, in 2 kleinere Kerne aufzuspalten ($BIA \approx 7.5 \text{ MeV}$ in Vgl. mit 8.5 MeV) d.h. es können pro Kern 200-250 MeV gewonnen werden

aber; die meisten schweren Kerne sind entweder stabil (^{208}Pb) oder zerfallen durch α -Zerfall

Grund: Coulombbarrieren sehr hoch

$$^{A_X} \rightarrow ^{A_1}Y + ^{A_2}Z \quad \text{mit } Z_1 \approx Z_2 \quad V_{\text{Coul}}^{\text{Fission}} = \frac{1.44 \text{ MeV fm}^2 Z_1 Z_2}{r} \approx \frac{1.44 \text{ MeV fm}^2 r^2}{4r}$$

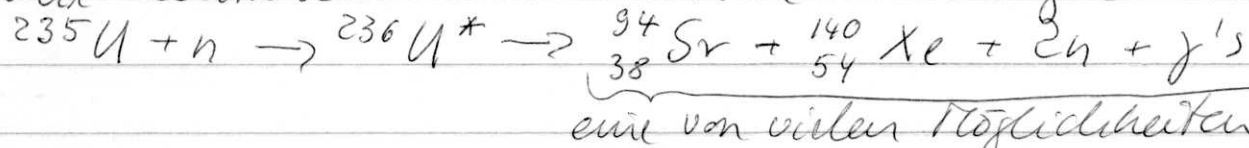
$$\text{im Vgl mit } V_{\text{Coul}}^{\alpha} = \frac{1.44 \text{ MeV fm}^2 Z^2}{r} \quad \text{Verhältnis } 7:8 \geq 10$$

altwähler Behandlung weist: Kern umß sich stark deformiert werden bis Coulombabstoßung 2 Hälften, auswärts führt. Spindälder oder annähernd sphärische Kern umß Oberflächenspannung überwinden

(Fiz. 5-9)

die Energie auß aufgebracht werden \rightarrow indirekte Spaltung statt spontaner Spaltung
entdeckt 1938 durch Hahn, Strassmann, Lise Meitner
Bombardierung von ^{235}U mit Neutronen führt zu
Produktion von Ba (Spaltfragment)

wenn Neutronen "thermisch" (kin. Energie $\approx kT$):



immer 2 Spaltfragmente + (≈ 2.5 Neutronen + Photonen)
die zusammen 200-250 MeV Energie freischen (Fiz. 5-10)
83% kin. Energie Spaltfragment, 11% Alphastrahlung

Spaltfragmente, 2.5% kin. Energie Neutronen, 3.5% Photonen

die emittierten Neutronen können weiße Spaltung induzieren, müssen dann aber abgekneist werden auf theratische Energie \sim dann Kettenreaktion

 Fig 5-10

wenn im Rüttel 1 Neutron weiße Spaltung induziert: kritische Reaktion

- > 1 suprakritisch, Beschleunigung
- < 1 subkritisch, Reaktion stirbt aus

Technologische Anwendung: Kernreaktor (Kernwaffen)
kontrollierte Spaltung von 1 g ^{235}U setzt soviel Energie frei wie Verbrennung von 2.6 t Kohle ($\approx 257\text{Wh}$)

Techn. Gesichtspunkte:

- Platinierung Neutronenverlust
"kritische Rasse und Brumme" (Oberfläche: Volumen)
Vollkugel von 15 kg U mit $r > 6\text{ cm}$ ist kritisch
angereichertes U; der größte Teil des unangereicherten U ist ^{238}U (99.3%) fängt Neutronen mit nebeln Wirkungsgeschwindigkeit und spaltet nicht braucht einzige % ^{235}U
- Abbremsung (Moderation) der Neutronen
optimal Wasserstoff (Hoch D) in Form von Wasser oder Kohlenstoff. Abbremslängen H_2O 5.6 cm C 18.7 cm
- Kontrolle der Reaktionsrate; je nach Bedarf kann ein Neutronabsorber weit / soviel weit in Reaktorkern gehetzt werden. Staubstäbe aus Cd oder B

- Wärme muß abtransportiert werden
typisch Wasser & Dampf & Antrieb Turbine & Kühler

1. Reaktor: Dez 1942 Univ Chicago G. Fermi & Richter
385 t Graphitblöcke in sphärischer Anordnung um
40 t U & einige kg Uranpellets verarbeitet \rightarrow [Fig 5-11]

naturlicher Reaktor von ca. $2 \cdot 10^9$ Jahren im heutigen
Geben durch Wassereinstrom in U-Lagerstätte (damals
noch 3% ^{235}U in nat. U) genügend Rödenierung;
"braunste" ca. 200 000 Jahre

Nb.: selbes Prinzip der Rödenierung gilt auf fast
alle heute gebräuchlichen Reaktortypen (alle
in Deutschland); nicht für sowjetische graphit-
moderierte Reaktoren vom Chernobyl Typ (16 in Betrieb)

6. Sterne und Kerne

6.1. Primordial Element synthesis

• ca 10 μs nach Urkuall bei $T \approx 150 \text{ MeV} = 10^{12} \text{ K}$
findet ein Phasenübergang statt
Plasma besteht aus freien Quarks und Gluonen sowie
 e, ν, γ "Kristallisiert aus" wieder sich q und g
zu Hadronen verbünden \rightarrow [Fig. 6-11]
Hadronen zerfallen schnell, es bleiben nur
 p, n, \bar{p}, \bar{n} übrig; wegen genügend Partikelüberschusses
bleiben auch $p\bar{p}$ und $n\bar{n}$ Annihilation von p und
 n übrig; solange T hoch genug (einige s)
stehen diese im Gleichgewicht